

Федеральное государственное автономное образовательное учреждение
высшего образования

«СИБИРСКИЙ ФЕДЕРАЛЬНЫЙ УНИВЕРСИТЕТ»

Институт математики и фундаментальной информатики

Базовая кафедра вычислительных и информационных технологий

УТВЕРЖДАЮ

/ Заведующий кафедрой

Раст В.В. Шайдуров

«21» июня 2016 г.

БАКАЛАВРСКАЯ РАБОТА

Направление 02.03.01 Математика и компьютерные науки

ВЫЧИСЛИТЕЛЬНЫЙ АЛГОРИТМ ПОСТРОЕНИЯ ПОВЕРХНОСТИ РЕЛЬЕФА МЕСТНОСТИ НА ОСНОВЕ ВЕКТОРНЫХ КАРТ В ПОЛЬСКОМ ФОРМАТЕ

Научный руководитель

кандидат физико-математических наук

21.06.2016 Е.В. Кучунова Е.В. Кучунова

Выпускник

21.06.2016 А.В. Рулёв А.В. Рулёв

Красноярск 2016

РЕФЕРАТ

Выпускная бакалаврская работа по теме «Вычислительный алгоритм построения поверхности рельефа местности на основе векторных карт в польском формате» содержит 38 страниц текстового документа, 21 рисунок, 0 таблиц, 2 приложения, 5 использованных источников литературы.

ВЕКТОРНЫЕ КАРТЫ, ПОЛЬСКИЙ ФОРМАТ, ИНТЕРПОЛЯЦИОННЫЕ СПЛАЙНЫ, ЦИФРОВЫЕ МОДЕЛИ МЕСТНОСТИ.

Целью бакалаврской работы является построение цифровой модели местности по векторным картам в польском формате; разработка вычислительного алгоритма построения цифровой модели рельефа на основе изолиний; реализация вычислительного алгоритма в виде программного комплекса на языке C++ и тестирование вычислительного алгоритма на серии тестовых задач.

В работе представлен алгоритм построения цифровой модели рельефа, который восстанавливает матрицу высот по заданному набору изолиний, представлены результаты вычислительных экспериментов.

Данная программа может быть использована при проведении исследований.

СОДЕРЖАНИЕ

Введение.....	3
1 Обзор цифровых моделей рельефа.....	5
1.1 Определение модели TIN.....	5
1.2 Растровое представление поверхности.....	6
2 Построение поверхности рельефа местности	8
2.1 Постановка задачи	8
2.2 Вычислительный алгоритм	9
3 Результаты численных экспериментов	12
3.1 Описание численных экспериментов	12
3.2 Тестовая задача №1	12
3.3 Тестовая задача №2.....	15
3.4 Тестовая задача №3.....	20
3.5 Поверхность рельефа горного хребта борус	24
Заключение	26
Список использованных источников	27
Приложение А	28
Приложение Б.....	39

ВВЕДЕНИЕ

С появлением первых компьютеров возможности хранения информации многократно возросли и практически сразу же были сделаны попытки реализовать на компьютере карту и связать с каждым объектом карты его описание, внесенное в базу данных.

Цифровая модель очень удобна при использовании, поскольку ее можно вращать, посмотреть на нее с любой точки и получить более полное представление о рельефе. С помощью цифровых моделей можно быстро получить информацию о высоте, угле наклона, экспозиции склона в любой точке модели. При использовании цифровых моделей значительно увеличивается возможность обычного пользователя проложить более удобный маршрут для подъема в гору или найти более подходящий рельеф.

В начале 2000 годов появился формат представления геоданных имеющий простую и хорошо документированную структуру. Этот формат получил название «польский формат» или формат MP. Польский формат (формат для векторных карт) — это текстовый формат хранения данных, используемый как в качестве промежуточного формата при конвертировании между различными промышленными форматами электронных карт, так и для их редактирования. Название свое получил потому, что изначально был разработан польскими программистами.

Польский формат можно легко расширять и дополнять своими объектами или полями объектов, что делает его удобным при разработке картографического ПО со специфическими требованиями. Расширенные данные польского формата сохраняют совместимость с программами, работающими со стандартной структурой польского формата.

Изолиния (линия уровня) - условное обозначение на карте, чертеже, схеме или графике, представляющее собой линию, в каждой точке которой измеряемая величина сохраняет одинаковое значение.

Полилиния - это замкнутая или незамкнутая последовательность соединенных между собой отрезков или дуговых сегментов, которые рассматриваются как цельный объект.

Цель работы: построить цифровую модель местности по векторным картам в польском формате. В качестве исходных данных выступают наборы изолиний. Каждая из изолиний представляет собой набор точек местности, имеющих одинаковую высоту.

Строится цифровая модель с помощью прямоугольной сетки, в узлах которой заданы значения z (высоты). Прямоугольная сетка обладает преимуществом простой и удобной структуры, требующей хранения только значений высот и позволяющей упростить алгоритмы анализа и обработки поверхности.

Для достижения поставленной цели в бакалаврской работе требовалось решить следующие задачи.

1. Разработать вычислительный алгоритм построения поверхности рельефа.
2. Реализовать разработанный алгоритм на языке C++ в виде прикладной программы.
3. Проверить разработанный алгоритм на тестовых задачах.

1 Обзор цифровых моделей рельефа

1.1 Определение модели TIN

Модель TIN (*Triangulation Irregular Network*– триангуляционная нерегулярная сеть) географических объектов – модель поверхности в виде сети смежных не пересекающихся треугольных граней, определенная по узлам и ребрам, которые покрывают поверхность.

Геометрия модели TIN образуется гранями, узлами и ребрами в трехмерном пространстве. Каждая грань TIN является частью поверхности в 3D-пространстве.

Модель TIN обладает следующими свойствами.

- 1 Модель TIN позволяет получить точное представление о локальной части поверхности, используя переменную плотность узлов со значением Z и линии перегиба поверхности;
- 2 Модель TIN является основой 3D-визуализации поверхности;
- 3 Модель TIN позволяет выполнить сложный анализ поверхности (вычисление высот, уклонов, экспозиций склонов, получение изолиний поверхности, расчеты объемов, вертикальные профили по трассе линии, анализ видимости).

На рис. 1 продемонстрирован пример модели TIN.

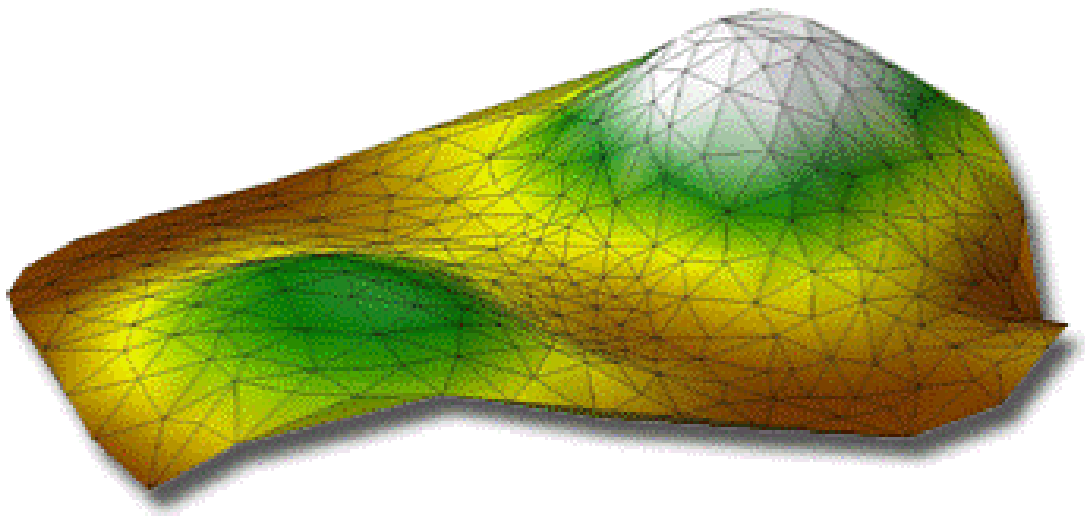


Рисунок 1- Модель TIN

1.2 Растровое представление поверхности

Это формат представления поверхности в виде матрицы равномерно распределенных точек, каждая из которых характеризуется своим параметром Z . Параметром Z может являться высота местности, количество особей на данной территории и т.д.

Существует две основные модели – «решеточная» и «ячеистая» (рис. 2). Первая модель представлена в виде значений интерполируемых по значениям Z в нескольких соседних точках. Во второй модели используется коллекция центральных точек ячеек со значениями Z , расположенных регулярно через горизонтальные интервалы.

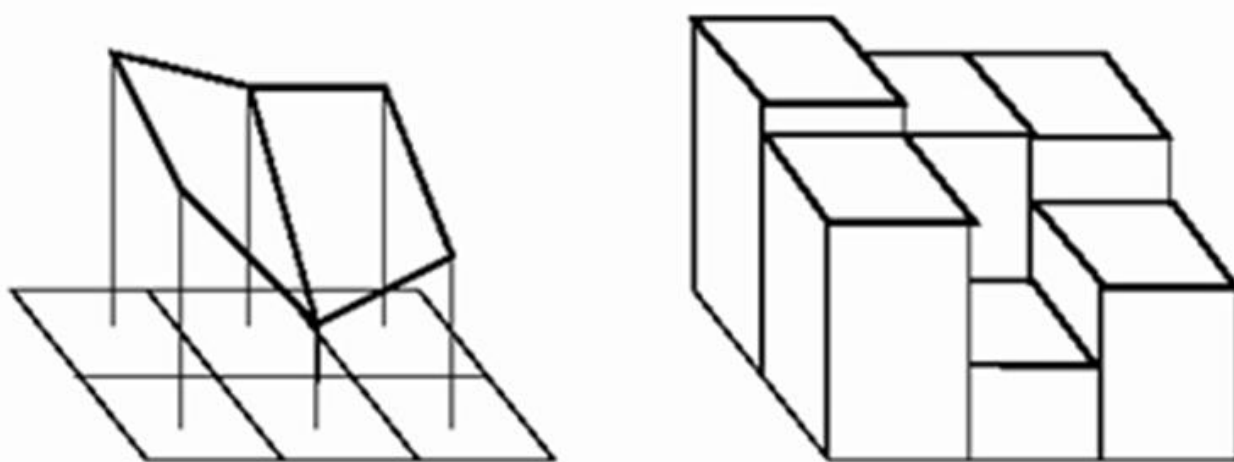


Рисунок 2- Растровые модели

Преимущества растрового представления поверхности:

- 1) простота модель;
- 2) применение в приложениях, где точность местоположений не имеет преимущественного значения и не требуется точного представления пространственных объектов поверхности.

Недостатки растрового представления поверхности:

- 1) регулярная структура не приспособлена к изменениям сложного рельефа;
- 2) разрывы непрерывности передаются недостаточно хорошо;
- 3) точные местоположения точек вершин, дна теряются.

По сравнению с векторными моделями растровые модели обладают следующими недостатками:

- географические объекты характеризуются менее точной информацией о местоположении и размерах;
- растры требуют больших объемов памяти.

Представление географических объектов растровыми моделями имеет следующие преимущества:

- растр отображает непрерывно охватываемую территорию;
- растровые данные проще для обработки и обеспечивают более высокое быстродействие;
- ввод растровых данных менее трудоемкий.

В растровых моделях выборочные точки расположены в узлах регулярной растровой решетки, а в триангуляционных сетях располагаются нерегулярно так, чтобы наилучшим образом обогнуть поверхность.

2 Построение поверхности рельефа местности

2.1 Постановка задачи

Пусть имеется некоторая исходная прямоугольная область $\Omega = [x_{min}, x_{max}] \times [y_{min}, y_{max}]$, в которой задан набор изолиний $L = \{l_0, l_1, \dots, l_{m-1}\}$. Каждая изолиния представляет собой пару $l_k = \langle h_k, V_k \rangle$, где h_k - высота набора вершин $V_k = \{(x_i^k, y_i^k), i = 0, \dots, n_k\}$. Предположим набор вершин V_k является упорядоченным вдоль изолинии l_k (в противном случае, вершины легко переупорядочить). Каждая изолиния может быть как замкнутой, так и не замкнутой.

Построим в $\bar{\Omega}$ равномерную прямоугольную сетку Ω_h :

$$\Omega_h = \{(x_i, y_j); x_i = x_{min} + i * h_x, y_j = y_{min} + j * h_y; i = 0, \dots, N; j = 0, \dots, M\},$$

где N, M - количество узлов сетки вдоль осей Ox и Oy соответственно,

$$h_x = \frac{x_{max} - x_{min}}{N}, h_y = \frac{y_{max} - y_{min}}{M}.$$

Требуется вычислить значение высоты z_{ij} в каждой точке Ω_h таким образом, чтобы полученная поверхность интерполировала бы весь заданный набор изолиний L .

Пример исходного набора изолиний изображен на рис. 3.

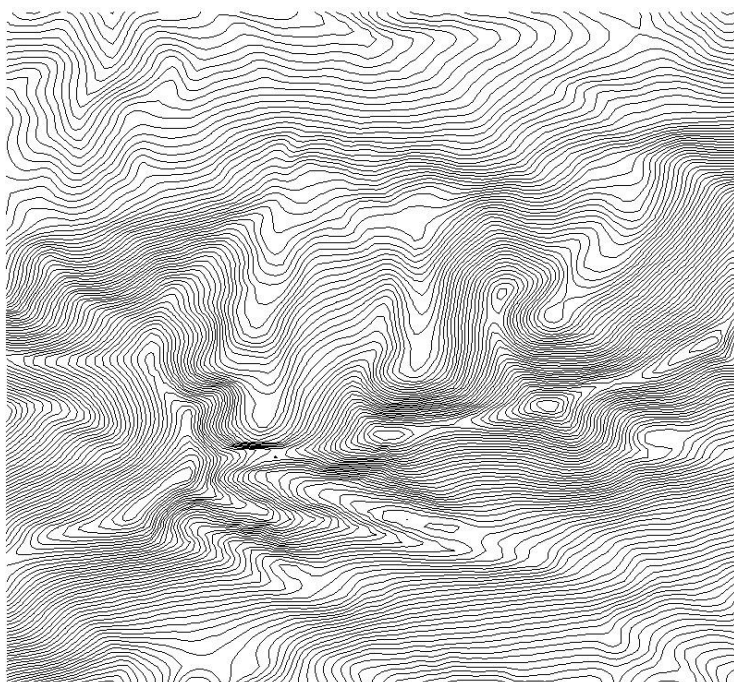


Рисунок 3- Пример исходного набора изолиний

2.2 Вычислительный алгоритм

Представляемый вычислительный алгоритм разбивается на три этапа.

1. Получение данных об исходном наборе изолиний.
2. Перенос данных о высотах изолиний в узлы сетки.
3. Получение поверхности с помощью сплайн-интерполяции.

Этап №1. Получение данных об исходном наборе изолиний

Данные об исходном наборе изолиний хранятся в текстовом файле с расширением .mr. В этом файле хранится информация о всех объектах местности (озера, реки и ручьи, тропы, изолинии, участки леса, здания и сооружения). Все объекты задаются при помощи полилиний и полигонов (замкнутых полилиний), содержащих физические координаты (широта и долгота) набора точек. Из всего набора данных нам необходимо выделить только изолинии и считать координаты их вершин.

Этап №2. Перенос данных о высотах изолиний в узлы сетки

Рассмотрим отдельно некую изолинию $l = \langle h, V \rangle$ множества L . Для простоты изложения опустим индекс, означающий ее номер. Предположим, что множество V этой изолинии содержит n вершин $V = \{V_0, V_1, \dots, V_{n-1}\}$. Необходимо перенести информацию о этой изолинии во все узлы сетки Ω_h располагающиеся вдоль изолинии l . Для этого дополняем изолинию точками при помощи линейной интерполяции.

Рассмотрим две соседних точки V_j и V_{j+1} изолинии l . Необходимо найти пересечение прямой линии $V_j V_{j+1}$ со всеми линиями сетки Ω_h . Для этого разбиваем отрезок $V_j V_{j+1}$ на систему подотрезков $\{v_0, v_1, \dots, v_k\}$ так, чтобы $v_0 = V_j$, $v_k = V_{j+1}$ и расстояние между соседними точками не превосходило шаг сетки: $|v_j - v_{j-1}| < \frac{h_x + h_y}{2}$.

Далее для каждой точки v_j отрезка $V_j V_{j+1}$ вычисляется ближайший узел (x_i^k, y_i^k) сетки Ω_h , которому приписывается высота h изолинии l .

Результат переноса отрезка на сетку изображен на рис. 4.

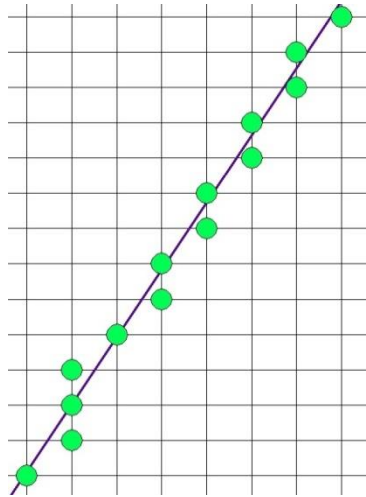


Рисунок 4- Перенос отрезка изолинии на сетку

Таким образом, изолиния l аппроксимируется набором узлов сетки Ω_h для которых высота является постоянной и равна h . Применяя данный алгоритм ко всем изолиниям набора L получаем множество узлов сетки Ω_h с известными высотами. Пример такого множества вершин изображен на рис.5.

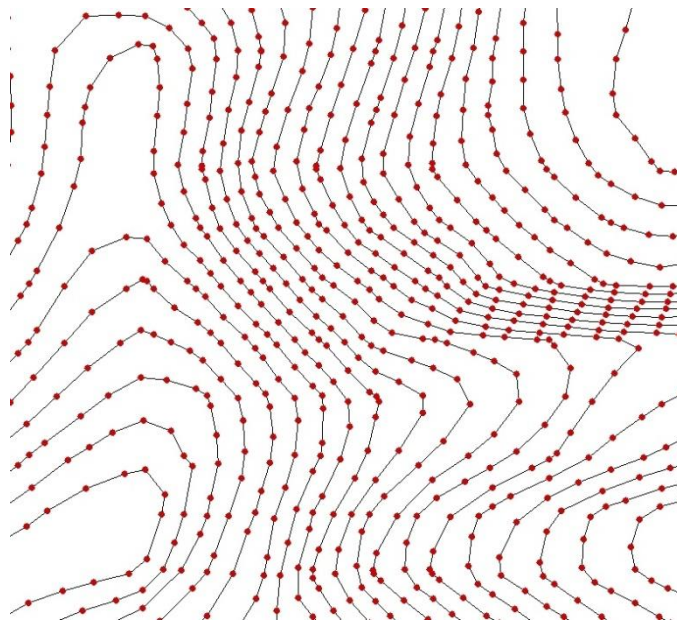


Рисунок 5- Перенос изолиний набора на сетку

Этап №3. Получение поверхности с помощью сплайн-интерполяции

Следующей задачей является вычисление высот во всех узлах сетки Ω_h .

Рассмотрим некоторый разрез области Ω вдоль оси OX (зафиксируем значение $y = const$). Вдоль этого разреза в некотором наборе узлов известны высоты, полученные после переноса изолиний. Во всех остальных узлах построим интерполяционный сплайн первого порядка. Переберем по очереди

все разрезы сетки Ω_h при каждом значении $y = y_j, j = 0, 1, \dots, M$ и вдоль каждого разреза построим интерполяционные сплайны. Аналогично поступаем и вдоль оси OY фиксируя по очереди значения $x = x_i$, для каждого значения $i = 0, 1, \dots, N$ строим интерполяционный сплайн. Таким образом, в каждом узле (x_i, y_j) сетки Ω_h получаем вычисленное значение высоты $z_{ij}, i = 0, 1, \dots, N, j = 0, 1, \dots, M$.

3 Результаты численных экспериментов

3.1 Описание численных экспериментов

Целью проведения вычислительных экспериментов является проверка разработанного вычислительного алгоритма. В тестовых задачах берутся различные поверхности с известным аналитическим представлением, для которых вычисляются наборы изолиний. Эти наборы изолиний в дальнейшем используются в качестве исходных данных для построения рельефа местности. Далее вычисляются нормы погрешности в дискретном аналоге пространства L_1 :

$$\varepsilon = \int_{\Omega} |z^h(x, y) - z(x, y)| d\Omega,$$

где $z(x, y)$ – точное значение высоты в точке, $z^h(x, y)$ – вычисленное значение высоты. Интеграл по Ω вычисляется численно с использованием кубатурных формул трапеций.

Анализируется сходимость вычисленного решения к точному при помощи серии расчетов на сгущающихся сетках и при увеличении количества изолиний.

3.2 Тестовая задача №1

В качестве точного решения возьмем поверхность эллиптического параболоида $z = 100 - \left(\frac{x^2}{4} + \frac{y^2}{4}\right)$ на области $\Omega = (0,10) \times (0,10)$.

Для начала необходимо вычислить набор I изолиний $\{l_0, l_1 \dots l_{I-1}\}$. Для этого нужно определить шаг по высоте dz . На области Ω вычисляем z_{min} и z_{max} , следовательно шаг равен $dz = (z_{max} - z_{min})/I$. Получены функции, описывающие изолинии: $dz * i = 100 - \left(\frac{x^2}{4} + \frac{y^2}{4}\right)$, где $i=0,1,\dots,I-1$.

В данном примере изолинии представляют собой окружности с радиусами $r = 2 * \sqrt{(100 - dz * i)}$:

$$x^2 + y^2 = 4 * (100 - dz * i).$$

Перейдем в полярные координаты: $x = r * \cos \varphi$, $y = r * \sin \varphi$, где $\varphi \in [0, 2\pi]$. Пусть расстояние между точками равно r , тогда $d\varphi = L/r$ и координаты точек изолинии l_i вычисляются по формулам:

$$x_j = r * \cos(d\varphi * j), y_j = r * \sin(d\varphi * j) \text{ где } j = 0, 1, \dots, M - 1.$$

$M = 2\pi/d\varphi$ – количество точек в данной изолинии.

На рис. 6 показаны построенные поверхности по вычисленному набору изолиний на серии сгущающихся сеток ($N=50, 100, 200, 400$).

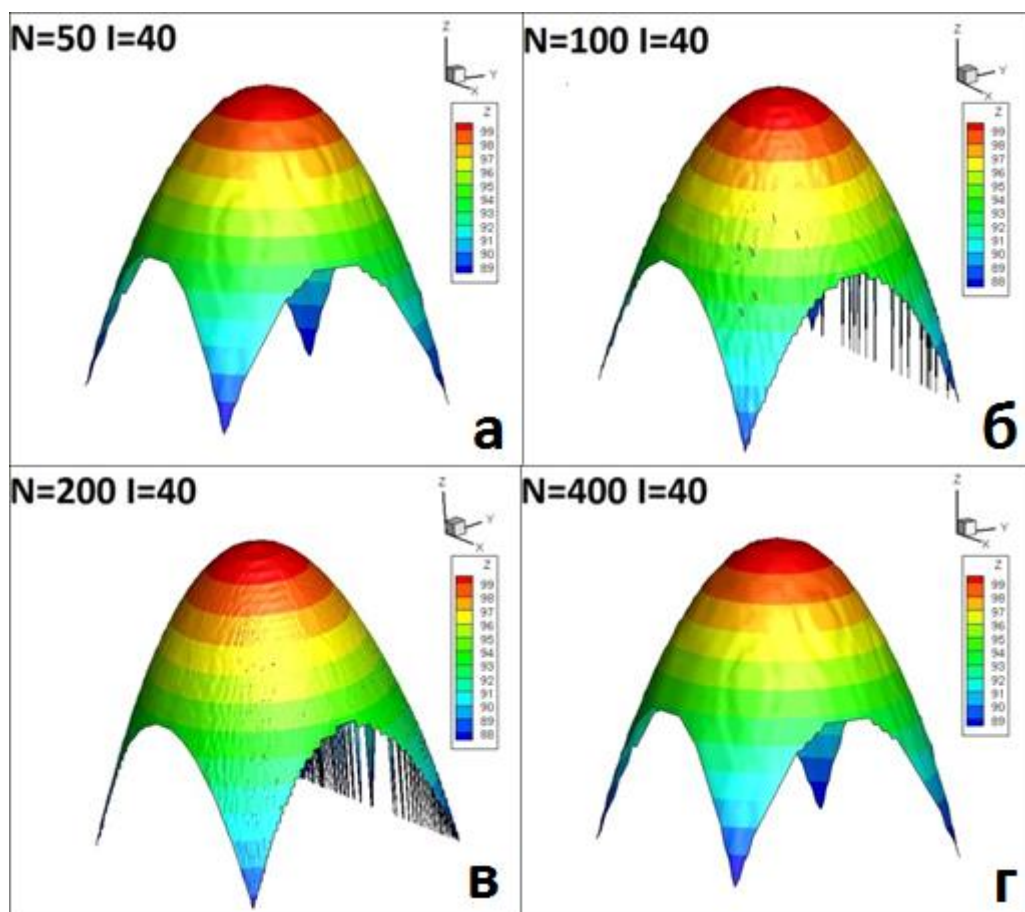


Рисунок 6-Построенные поверхности на серии сгущающихся сеток (а-50 узлов, б-100 узлов, в- 200 узлов г-400 узлов)

На рис. 7 представлен график зависимости величины погрешности ϵ от количества узлов в сетке. Из графика видно, что погрешность стремится к константе.

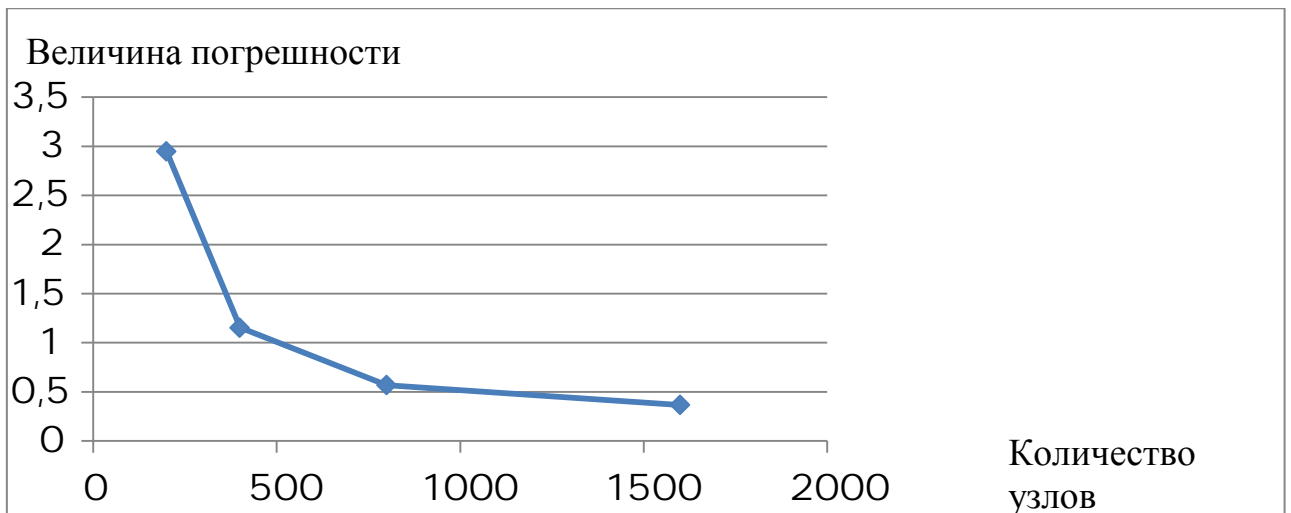


Рисунок 7- График зависимости величины погрешности от количества узлов

На рис.8 показаны построенные поверхности при разном количестве исходных изолиний ($I=40, 80, 160, 320, 640$ и 1280) и при фиксированном количестве узлов сетки ($N = 200$).

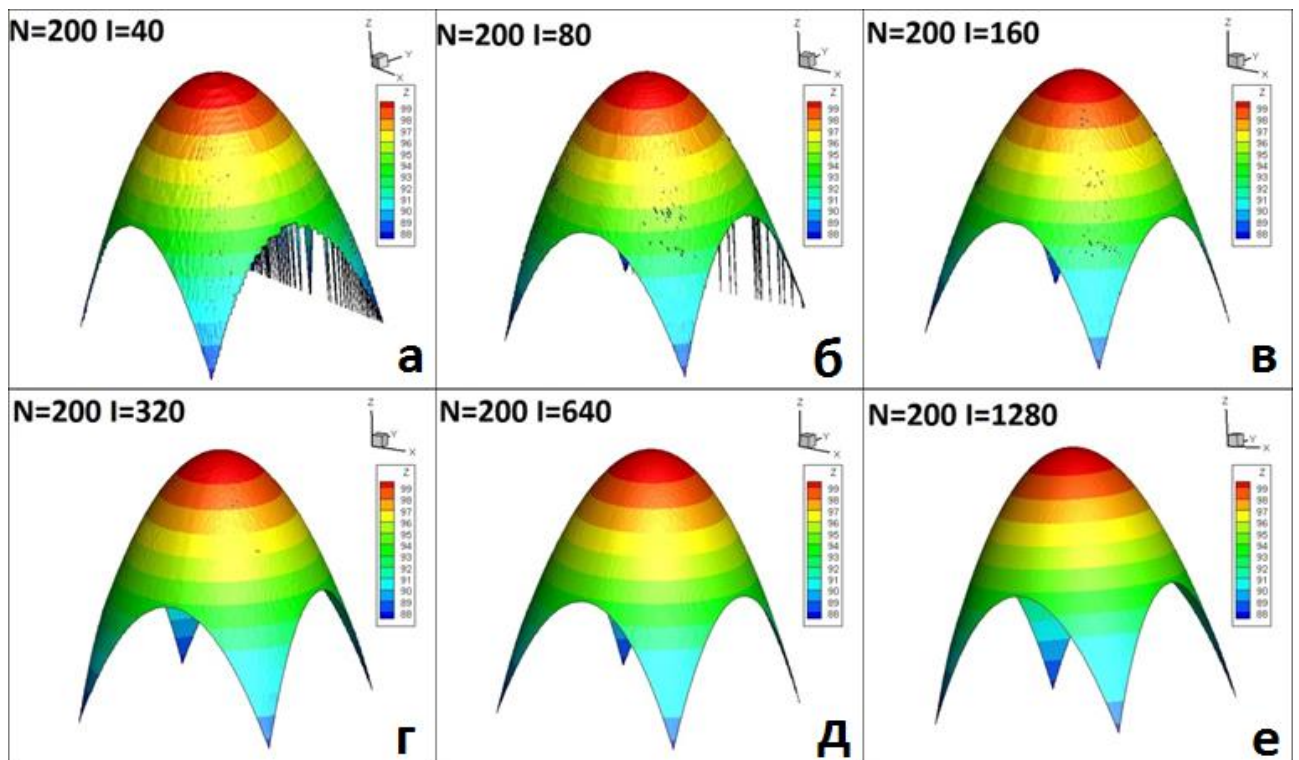


Рисунок 8-Построенные поверхности при различном числе исходных изолиний (а-40 изолиний, б-80 изолиний, в-160 изолиний, г-320 изолиний, д-640 изолиний, е-1280 изолиний)

По графику зависимости величины погрешности ϵ от количества изолиний (рис. 9) видно, что эта погрешность стремится к нулю.

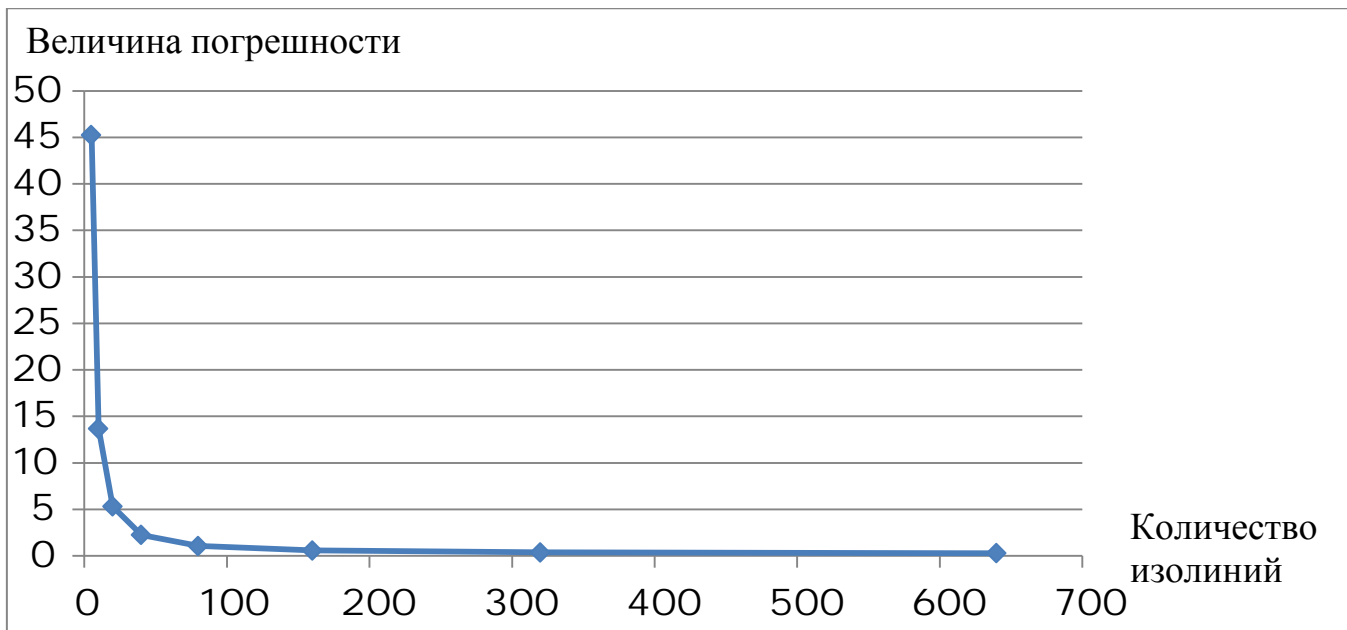


Рисунок 9- График зависимости величины погрешности от количества изолиний

Таким образом, чем больше наборов изолиний и чем больше узлов в сетке, тем больше величина погрешности стремится к нулю.

3.3 Тестовая задача №2

В качестве точного решения возьмем поверхность гиперболического параболоида $z = \frac{x^2}{4} - \frac{y^2}{4}$ на области $\Omega = (0,10) \times (0,10)$.

Как и в предыдущей тестовой задаче, необходимо по аналитической поверхности вычислить координаты набора изолиний.

Шаг изолиний равен

$$dz = (z_{max} - z_{min})/I,$$

где $z_{min} = \min_{\Omega} z(x, y), z_{max} = \max_{\Omega} z(x, y)$.

Аналитическое представление i -ой изолинии:

$$dz * i = \frac{x^2}{4} - \frac{y^2}{4} \text{ где } i=0,1,\dots,I-1.$$

В данном примере если $dz * i \leq 0$, то изолинии вычисляются по формулам $y = \sqrt{x^2 - 4 * dz * i}$ и $y = -\sqrt{x^2 - 4 * dz * i}$. В этом случае на каждой высоте будет две изолинии. Расстояния между точками равна dx и первая изолиния равна $l_i = \{x_0, y_0, x_1, y_1, \dots, x_{M-1}, y_{M-1}\}$, а вторая изолиния равна $l_{i+1} = \{x'_0, y'_0, x'_1, y'_1, \dots, x'_{M-1}, y'_{M-1}\}$ и $M = (10 - 0)/dx$ — это количество точек в данной изолинии.

И второй случай, когда $dz * i > 0$, то изолинии вычисляются по формулам $x = \sqrt{y^2 + 4 * dz * i}$ и $x = -\sqrt{y^2 + 4 * dz * i}$. В этом случае тоже на каждой высоте будет две изолинии. Расстояния между точками равна dy и первая изолиния равна $l_i = \{x_0, y_0, x_1, y_1, \dots, x_{M-1}, y_{M-1}\}$, а вторая изолиния равна $l_{i+1} = \{x'_0, y'_0, x'_1, y'_1, \dots, x'_{M-1}, y'_{M-1}\}$ и $M = (10 - 0)/dy$ — это количество точек в данной изолинии.

На рис. 10 показаны построенные поверхности по фиксированному количеству изолиний на серии сгущающихся сеток.

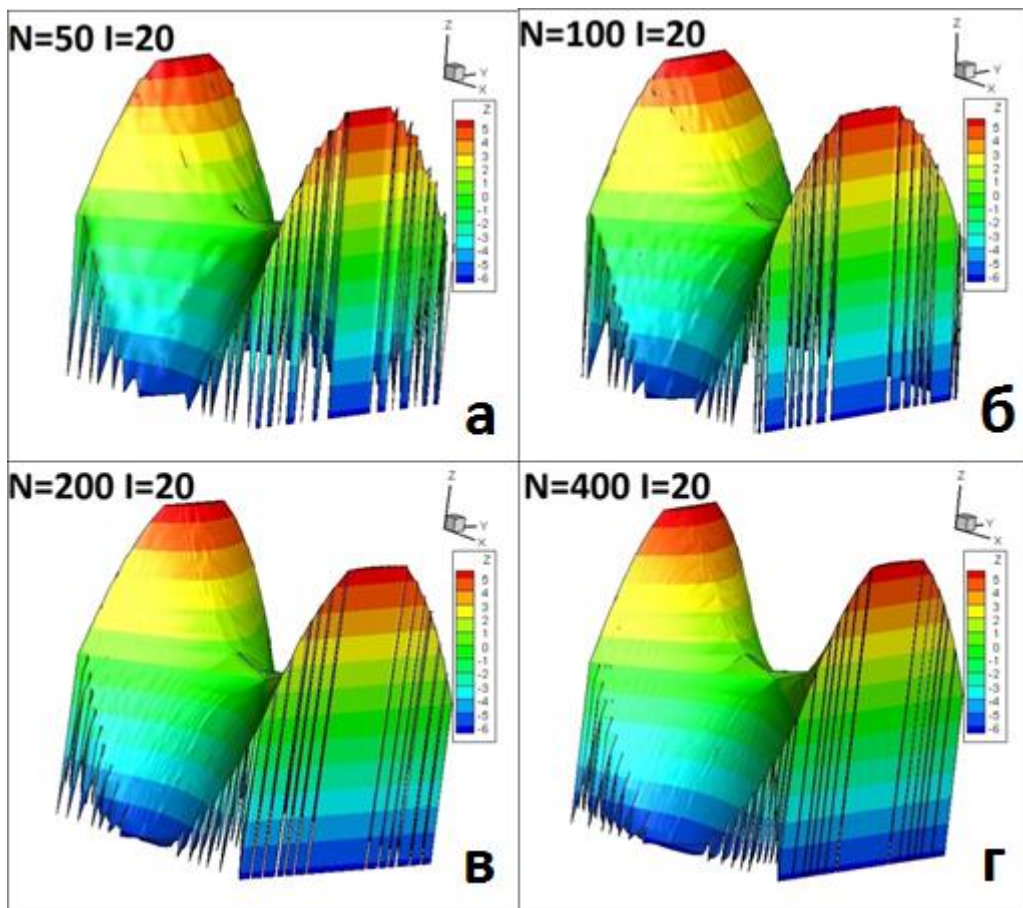


Рисунок 10-Вычисленные поверхности на серии сгущающихся сеток (а-50 узлов, б-100 узлов, в- 200 узлов г-400 узлов)

По графику зависимости погрешности ϵ от количества узлов сетки (рис. 11) видно, что эта погрешность стремится к константе.

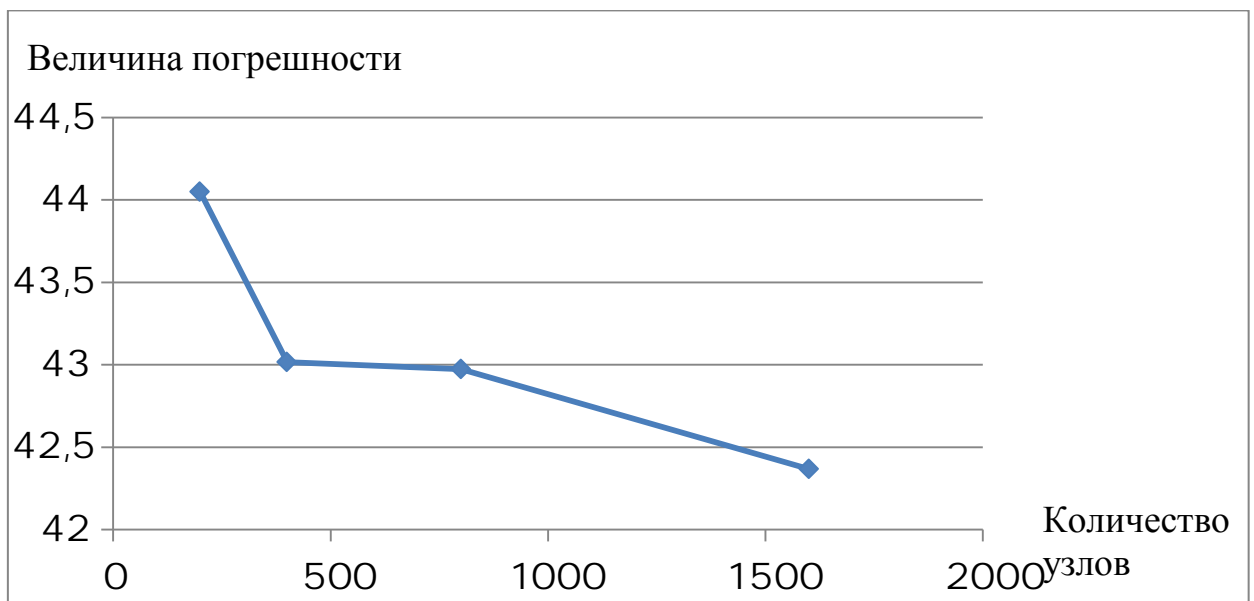


Рисунок 11- График зависимости величины погрешности от количества узлов

На рис. 12 продемонстрированы вычисленные поверхности при фиксированном количестве узлов сетки ($N = 1600$) и различном количестве изолиний (5, 10, 20, 640, 1280, 2560).

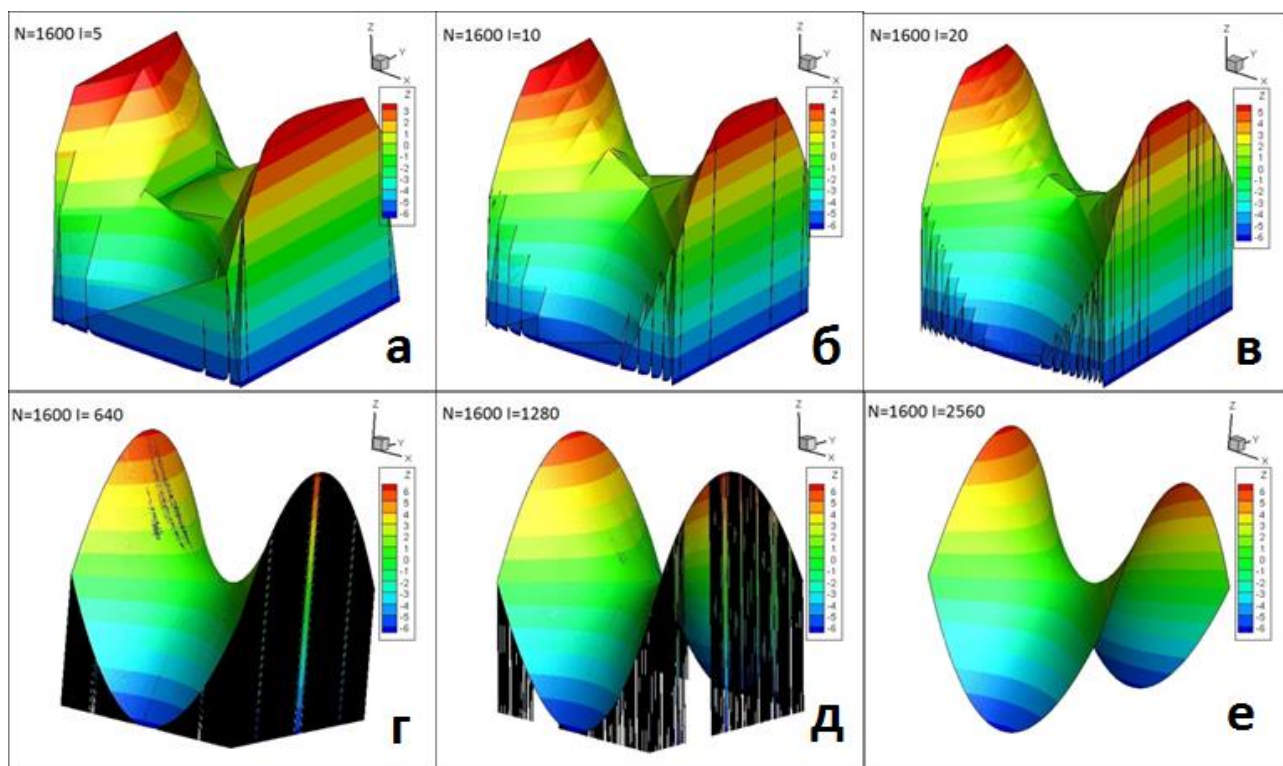


Рисунок 12-Вычисленные погрешности при фиксированном количестве узлов сетки и различным количестве изолиний (а-40 изолиний, б-80 изолиний, в-160 изолиний, г-320 изолиний, д-640 изолиний, е-1280 изолиний)

По графику зависимости погрешности ε_{OT} количества изолиний (рис. 13) видно, что эта погрешность стремится к нулю.

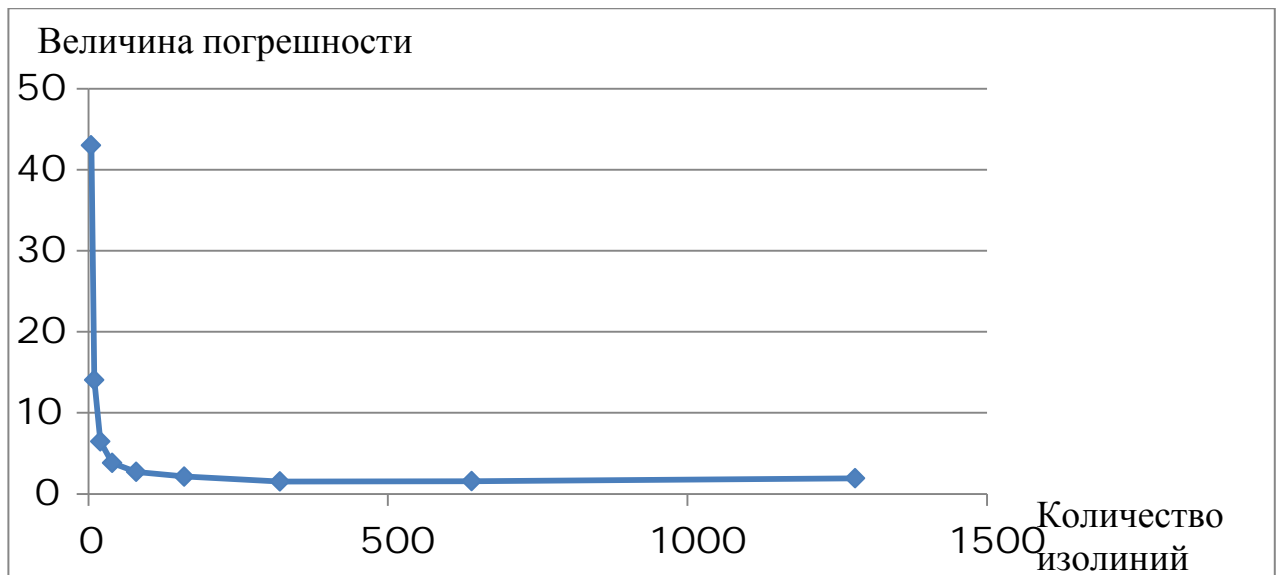


Рисунок 13- График зависимости величины погрешности от количества изолиний

Таким образом, чем больше наборов изолиний и чем больше узлов в сетке, тем больше величина погрешности стремится к нулю.

3.4 Тестовая задача №3

В качестве точного решения возьмем поверхность, заданную аналитически $z = (\sin x)^2 + (\sin y)^2$ на области $\Omega = (0,10) \times (0,10)$. Она изображена на рис. 14.

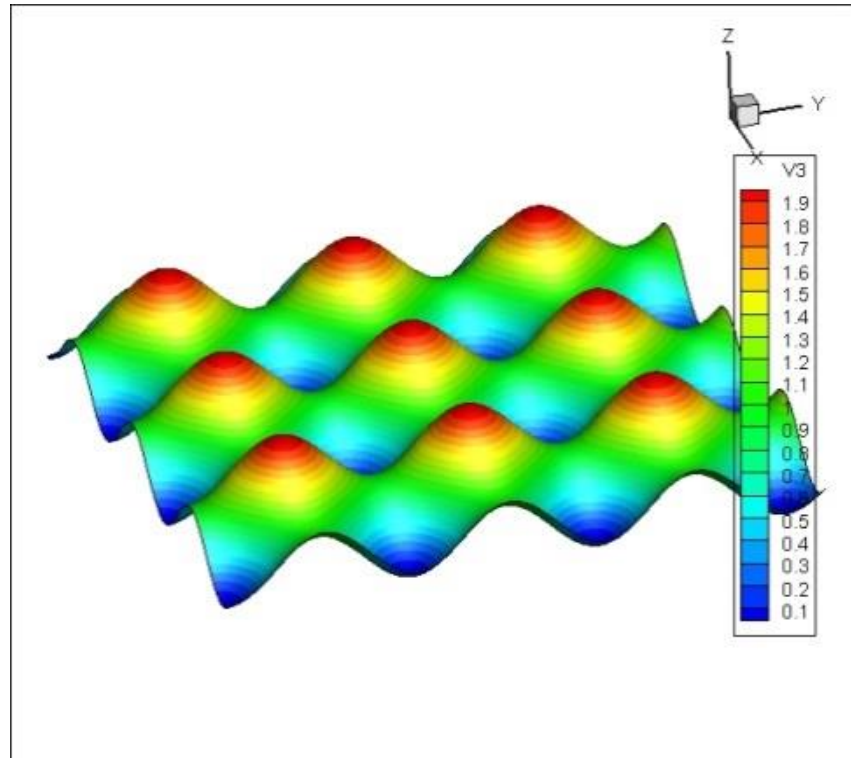


Рисунок 14- Поверхность из синусов

Как и в предыдущей тестовой задаче, необходимо по аналитической поверхности вычислить координаты набора изолиний.

Шаг изолиний равен

$$dz = (z_{max} - z_{min})/I,$$

где $z_{min} = \min_{\Omega} z(x, y)$, $z_{max} = \max_{\Omega} z(x, y)$.

Аналитическое представление i -ой изолинии:

$$dz * i = (\sin x)^2 + (\sin y)^2,$$

где $i=0,1,\dots,I-1$.

Перейдем в полярные координаты: $\sin x' = r * \cos \varphi$, $\sin y' = r * \sin \varphi$, где $\varphi \in [0, 2\pi]$, то есть $x = x' + a * 2\pi$, $y = y' + b * 2\pi$. Тогда $\sin(x - a * 2\pi) = r * \cos \varphi$, $\sin(y - b * 2\pi) = r * \sin \varphi$, следовательно, $x = \arcsin(r * \cos \varphi) + a * 2\pi$, $y = \arcsin(r * \sin \varphi) + b * 2\pi$, где $A = (10 - 0)/2\pi$, $a \in [0, A]$, $B = (10 - 0)/2\pi$, $b \in [0, B]$. На рис. 15 показан график изменения z .



Рисунок 15- График изменения z

В данном примере изолинии представляют собой окружности. При $dz * i < 0$, то радиус окружности равен $r = \sqrt{dz * i}$, а если $dz * i > 0$, то $r = \sqrt{dz * i - 1}$. Пусть в каждой окружности расстояние между точками равно L и $d\varphi = L/r$. Получаем формулы, если $dz * i < 0$, тогда изолинии вычисляются по формулам $r = \sqrt{dz * i}$, $x_j = \arcsin(r * \cos(d\varphi * j)) + a * 2\pi$, $y_j = \arcsin(r * \sin(d\varphi * j)) + b * 2\pi$, где $a \in [0, A]$, $b \in [0, B]$ и $j = 0, 1, \dots, M - 1$. То изолиния $l_i = \{x_0, y_0, x_1, y_1, \dots, x_{M-1}, y_{M-1}\}$ и $M = 2\pi/d\varphi$, где это количество точек в данной изолинии.

И второй случай, когда $dz * i > 0$, тогда изолинии вычисляются по формулам $r = \sqrt{dz * i - 1}$, $x_j = \arcsin(r * \cos(d\varphi * j)) + a * 2\pi$, $y_j = \arcsin(r * \sin(d\varphi * j)) + b * 2\pi$, где $a \in [0, A]$, $b \in [0, B]$, где $j = 0, 1, \dots, M - 1$.

$l_i = \{x_0, y_0, x_1, y_1, \dots, x_{M-1}, y_{M-1}\}$ и $M = 2\pi/d\varphi$ —это количество точек в данной изолинии.

На рис. 16 приведены изображения вычисленных поверхностей при фиксированном количестве изолиний на серии сгущающихся сеток ($N = 50, 100, 200, 400$).

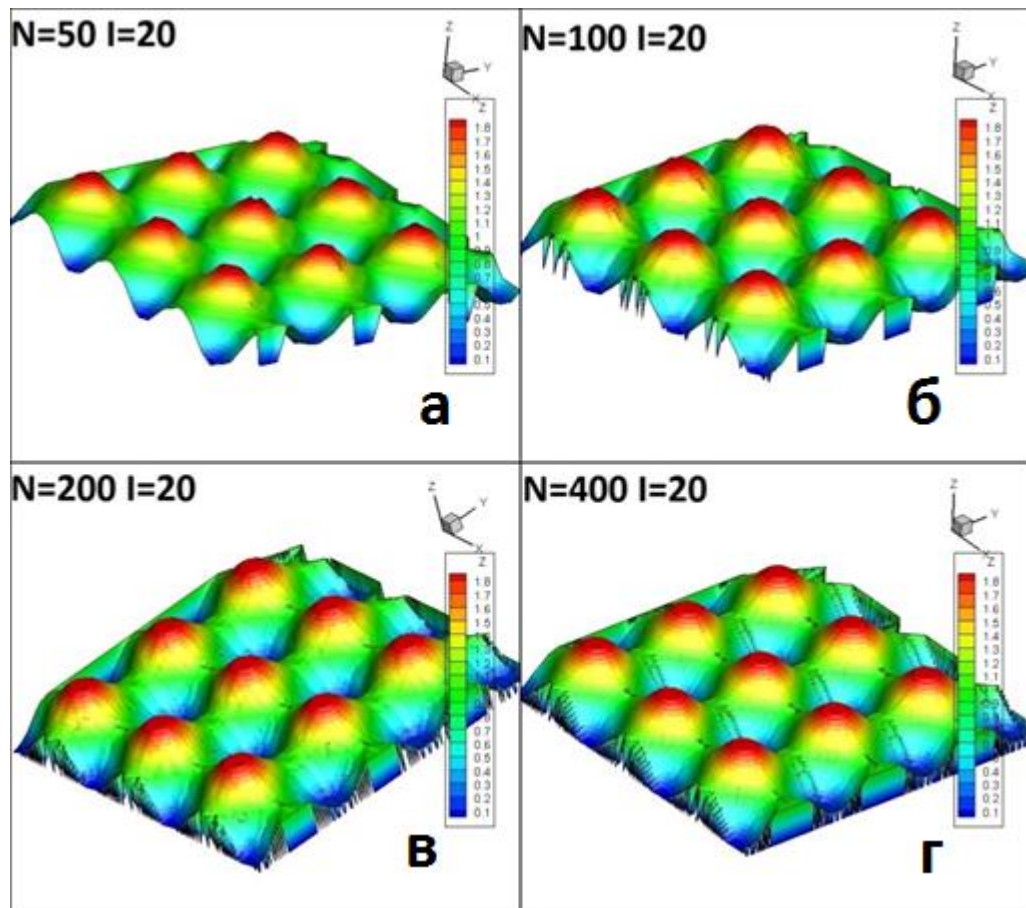


Рисунок 16- Вычисленная поверхность при фиксированном количестве изолиний на серии сгущающихся сеток (а-50 узлов, б-100 узлов, в- 200 узлов,г-400 узлов)

По графику зависимости величины погрешности ϵ от количества узлов (рис. 17) видно, что эта погрешность стремится к константе.

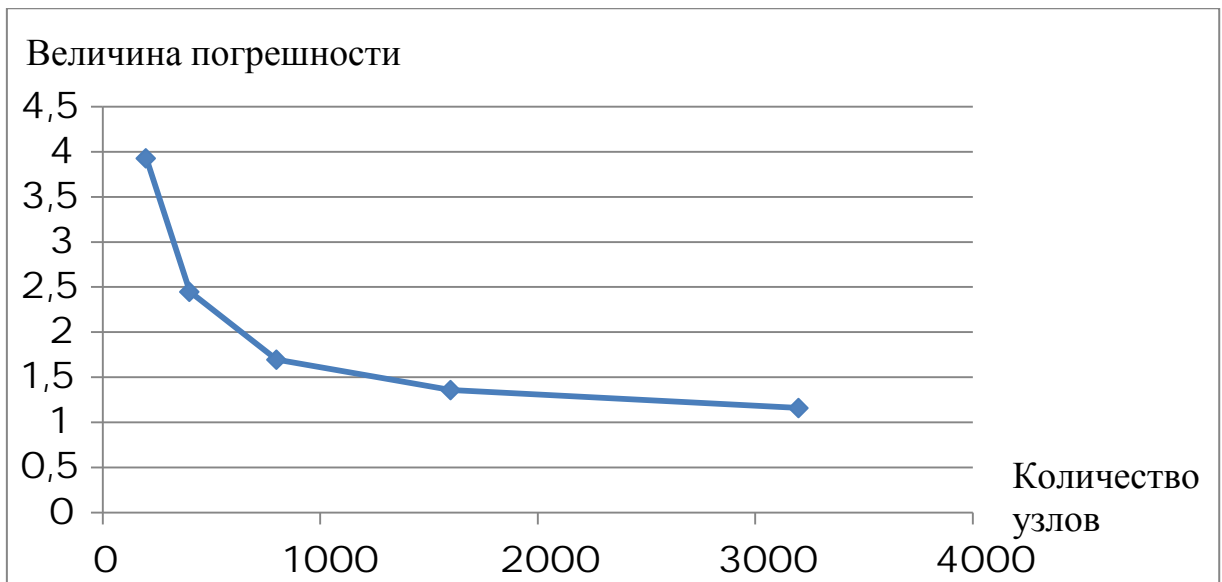


Рисунок 17- График зависимости величины погрешности от количества узлов

На рис.13 показаны вычисленные поверхности при фиксированном количестве узлов сетки и различном количестве изолиний ($I = 40, 80, 160, 320, 640$ и 1280).

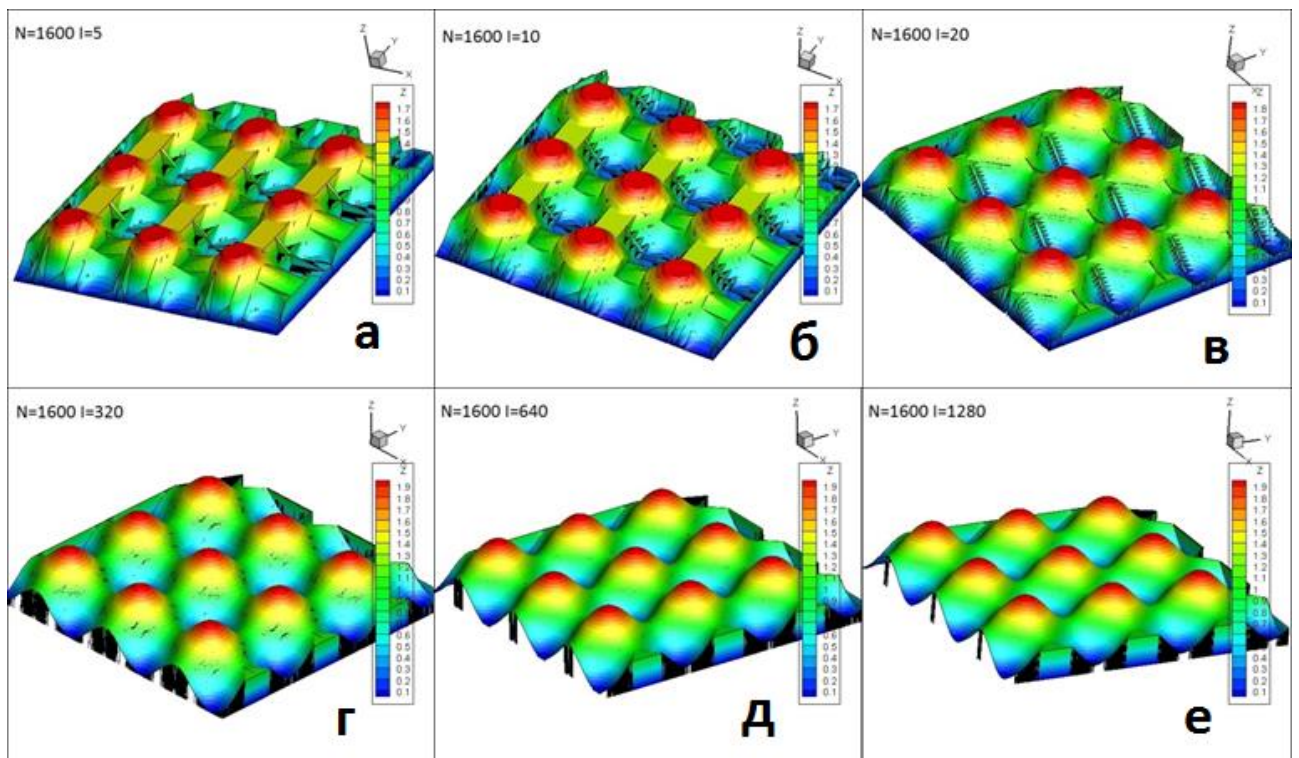


Рисунок 18-Вычисленные поверхности при фиксированном количестве узлов сетки и различном количестве изолиний (а-40 изолиний, б-80 изолиний, в-160 изолиний, г-320 изолиний, д-640 изолиний, е-1280 изолиний)

По графику зависимости величины погрешности от количества изолиний (рис. 19) видно, что эта погрешность стремится к константе.

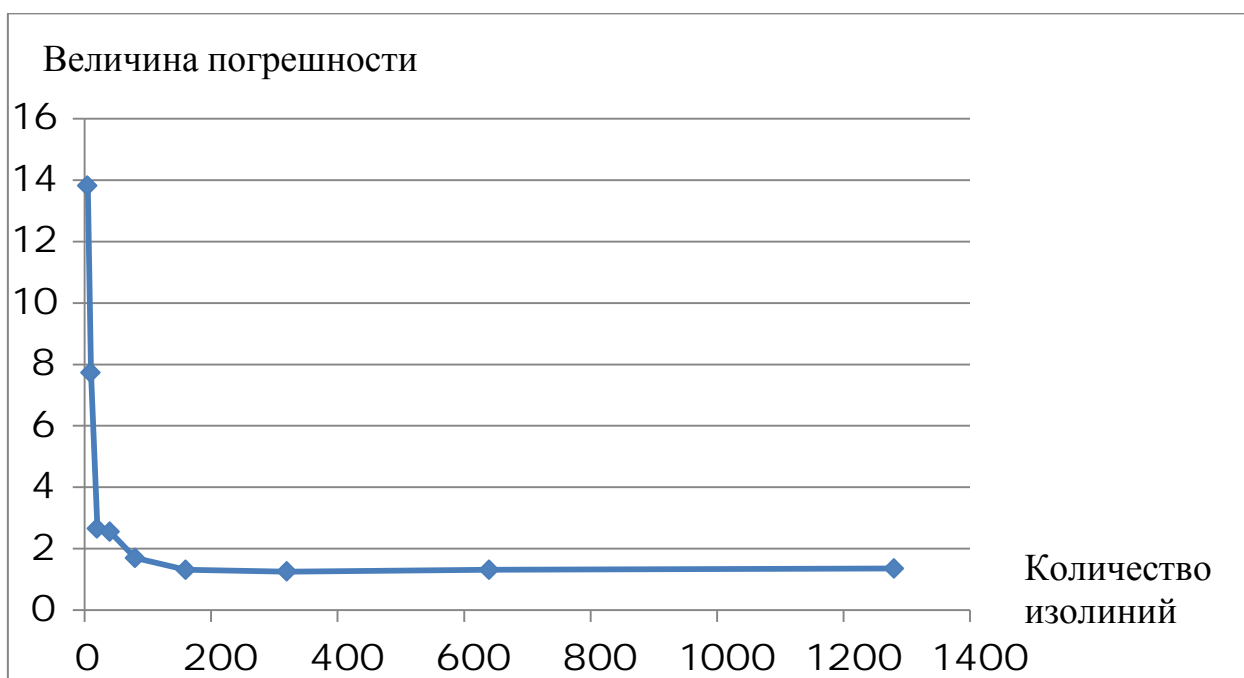


Рисунок 19- График зависимости величины погрешности от количества изолиний

Таким образом, чем больше наборов изолиний и чем больше узлов в сетке, тем больше величина погрешности стремиться к нулю.

3.5 Поверхность рельефа горного хребта Борус

В работе была рассмотрена векторная карта горного хребта Борус (рис.20), расположенного в системе Западного Саяна. Протяженность карты составляет от 91.20° до 91.40° восточной долготы и от 52.42° до 52.54° северной широты. Карта содержит более 500 изолиний, которые в совокупности содержат около $3 \cdot 10^5$ вершин. Перепад высот составляет от 320 до 2260 метров над уровнем моря.

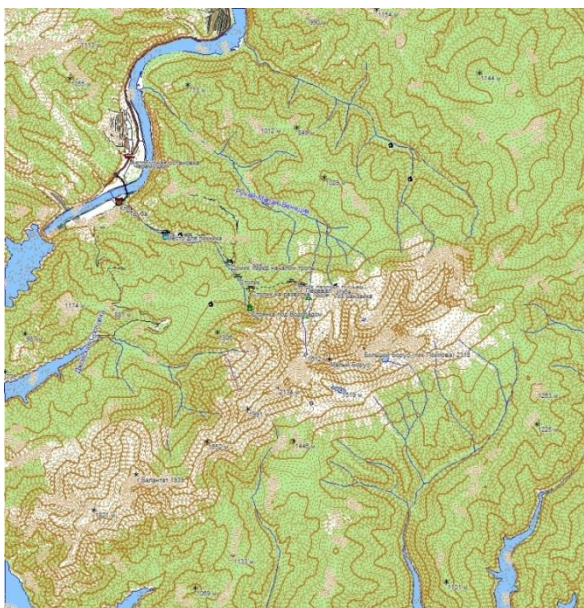


Рисунок 20- Исходная карта горного хребта Борус

Вычисления производились при количестве узлов сетки 1000 по каждому из направлений. Полученная цифровая модель изображена на рис. 21.

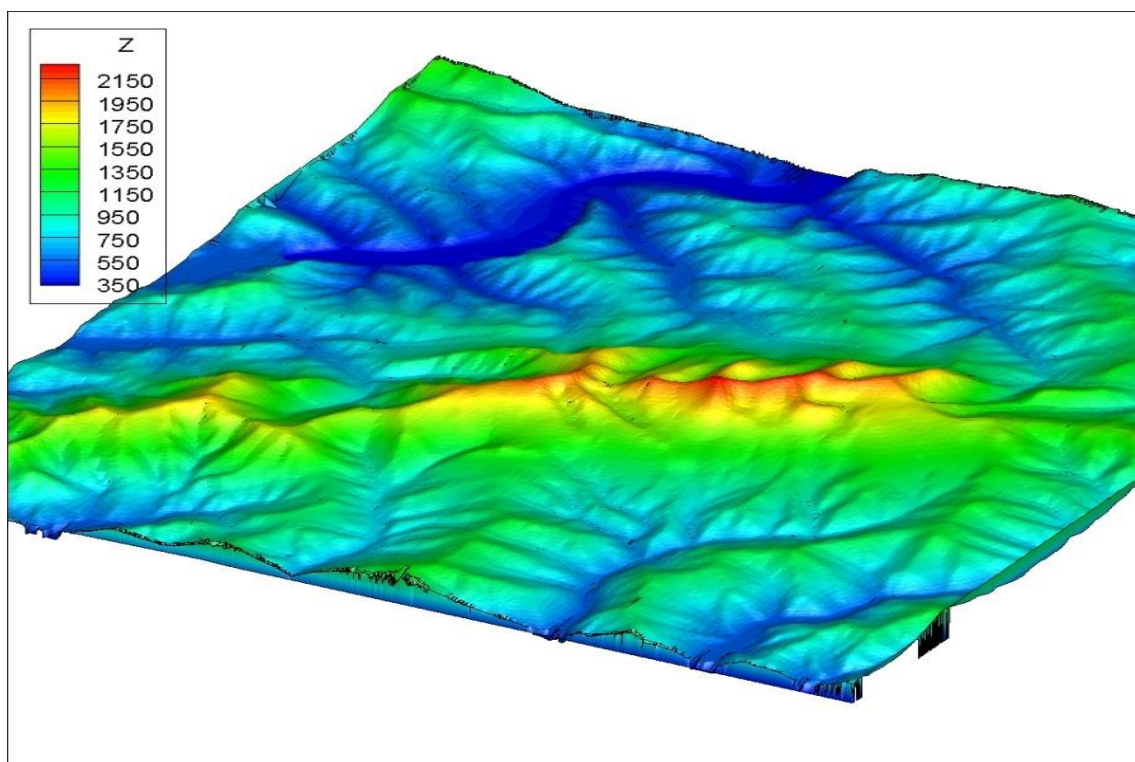


Рисунок 21- Цифровая модель хребта Борус

ЗАКЛЮЧЕНИЕ

В представленной работе получены следующие результаты.

1. Разработан вычислительный алгоритм построения цифровой модели рельефа на основе изолиний, данные о которых извлекаются из векторных карт в польском формате. Данные в этом формате отличаются хорошей структурой, их удобно считывать с помощью программы из файла.
2. Вычислительный алгоритм реализован в виде программного комплекса на языке C++.
3. Вычислительный алгоритм протестирован на серии тестовых задач.

Результаты данной работы были представлены на следующих конференциях и опубликованы в трудах этих конференций.

1. Международная конференция студентов, аспирантов и молодых ученых «Перспектив Свободный-2016», секция «Вычислительная математика и математическое моделирование», устный доклад.
2. Международная конференция «IX Сибирский конгресс женщин-математиков», постерный доклад.

СПИСОК ИСПОЛЬЗОВАННЫХ ИСТОЧНИКОВ

- 1 Шнитко С.Г. Конспект лекций по предмету «ГИС в геодезии»
[Электронный ресурс] - Режим доступа:
http://www.psu.by/images/stories/gf/kaf_prikl_geod/gis-v-geodezii-lektsii.pdf
- 2 Варфоломеев, И.В. Алгоритмы и структуры данных геоинформационных систем: Методические указания /И.В.Варфоломеев, И.Г.Ермакова, А.С.Савельев - Красноярск: КГТУ, 2003. -34 с.
- 3 Тикунов, В.С. Моделирование в картографии: Книга / В.С. Тикунов — Москва: Изд-во МГУ, 1997.-405 с.
- 4 Костюк Ю.Л. Предварительная обработка исходных данных для построения цифровой модели рельефа местности / Ю.Л.Костюк, А.Л.Фукс [Электронный ресурс] - Режим доступа:
http://rus.neicon.ru:8080/xmlui/bitstream/handle/123456789/2586/110_280-281.pdf?sequence=1
- 5 Хромых В.В. Цифровые модели рельефа: Учебное пособие / В.В.Хромых, О.В.Хромых - Томск: Изд-во «ТМЛ-Пресс», 2007. - 178 с.

ПРИЛОЖЕНИЕ А

Текст программы

Файл "point.h".

```
#pragmaonce;
#include<iostream>
usingnamespacestd;

structCPoint
{
    double x, y, z;
    CPoint(double_x=0, double_y=0, double_z=0): x(_x), y(_y),z(_z) { };
    doubledistance(constCPoint&P) const;
    double dx(constCPoint&P) const {returnfabs(x-P.x);}
    doubledy(constCPoint&P) const {returnfabs(y-P.y);}
};

CPoint operator - (constCPoint&C1, constCPoint&C2);
CPoint operator + (constCPoint&C1, constCPoint&C2);
CPoint operator / (constCPoint&C1, constdouble& d);
ostream& operator << (ostream& out, constCPoint&P);
```

Файл "main.cpp"

```
#include<iostream>
#include<list>
#include<vector>
#include<set>
#include<fstream>
#include<string>
#include"point.h"
#defineM_PI 3.14159265358979323846
usingnamespacestd;
```

```
boolTestTask = 1; // 1 - тестоваязадача, 0 - карта
```

```

int N=100, M=100; // разбиение исходной области Omega - Квадрат [0, Lx]x[0, Ly]
double x_min(0), x_max(0), y_min(0), y_max(0), z_min(0), z_max(0);
double leaps = 0.0001;

typedef list<pair<list<CPoint>, double>> IsoLines;
typedef list<CPoint> ListPoints;
typedef vector<vector<double>> Matrix;
typedef vector<CPoint> Points;

void LoadIsoLineFromFile(char *filename, IsoLines&lines);
void TecPlotV(char *filename, const IsoLines&lines);
void TecPlotU(char *filename, const Matrix&U);
CPoint SearchPointInGrid(const CPoint&P, int&ii, int&jj);
void ApproximateIsoLineInGrid(IsoLines&lines, Matrix&U);
Matrix Init(int n, int m);
void SegmentDecomposition(const CPoint&V1, const CPoint&V2, ListPoints&points);
void Load(string filename, IsoLines&lines); //Загрузка
void Search_min_max(const IsoLines&lines);
void LineSplineX(Matrix&U);
void LineSplineY(Matrix&U);

int main()
{
    setlocale(0, "");
    IsoLines lines;
    if (TestTask) LoadIsoLineFromFile("Example.txt", lines);
    else Load("Borus_full.txt", lines);
    cout<<"Изолинии загружены!\n";

    Search_min_max(lines);
    TecPlotV("Isolines.dat", lines);
    Matrix U=Init(N, M);

    ApproximateIsoLineInGrid(lines, U);

```

```

LineSplineY(U);
LineSplineX(U);

x_max = 1.01*(x_max - x_min)*64000; x_min = -0.01*x_max;
y_max = 1.01*(y_max - y_min)*111000; y_min = -0.01*y_max;
cout<<"Загрузка данных для TecPlot...\n";
TecPlotU("Surface.dat", U);

system("pause");
}

// Инициализация двумерного массива
MatrixInit(intn, intm)
{
    Matrix M;
    M.resize(n+1);
    for(inti=0;i<n+1;i++)
    {
        M[i].resize(m+1);
        for(int j=0; j<m+1; j++) M[i][j]=z_min;
    }
    return M;
}

void Load(stringfilename, IsoLines&lines)//Загрузка
{
    ifstream Loading(filename.c_str());
    string str,str2;
    char symbol;
    double h, x,y, z;
    while(!Loading.eof())
    {
        do
        {
            getline(Loading,str,'\n');

```

```

    }
    while(str!="[POLYLINE]");

    getline>Loading, str, '\n'); // Type
    getline>Loading, str, '='); // Label
    Loading >> h;
    getline>Loading, str, '='); // Data0
    Loading.get();
    lines.push_back(make_pair(list<CPoint>(), h));
    while(1)
    {
        Loading>>y>>symbol>>x;
        do
        {
            Loading >> symbol;
        }
        while (!isdigit>Loading. peek()) && symbol!='[');
        lines.back().first.push_back(CPoint(x, y));
        if (symbol=='[' || symbol=='E') break;
    }
    getline>Loading, str, '\n');
    Loading.get();
}
}

```

```

void LoadIsoLineFromFile(char *filename, IsoLines&lines)

```

```

{
    ifstream fin(filename);
    double h, x, y;
    int count;
    while(!fin.eof())
    {
        fin>> h; // высота изолинии
        fin>>count; // количество вершин изолинии
        // вставляем в список новую изолинию
    }
}

```

```

        lines.push_back(make_pair(list<CPoint>(), h));
        for(int i=0; i<count; i++)
        {
            fin >> x >> y;
            lines.back().first.push_back(CPoint(x, y));
        }
    }
}

void Search_min_max(const IsoLines& lines)
{
    IsoLines::const_iterator iter_lines = lines.begin();
    list<CPoint>::const_iterator p = iter_lines->first.begin();
    x_min = x_max = p->x;
    y_min = y_max = p->y;
    z_min = z_max = iter_lines->second;
    double h;

    for(iter_lines = lines.begin(); iter_lines != lines.end(); ++iter_lines)
    {
        // Цикл по точкам изолиней
        h = iter_lines->second;
        if (h < z_min) z_min = h;
        if (h > z_max) z_max = h;
        for(p = iter_lines->first.begin(); p != iter_lines->first.end(); ++p)
        {
            if (p->x < x_min) x_min = p->x;
            if (p->x > x_max) x_max = p->x;
            if (p->y < y_min) y_min = p->y;
            if (p->y > y_max) y_max = p->y;
        }
    }
}

void TecPlotV(char *filename, const IsoLines& lines)

```

```

{
    ofstream out(filename);
    out <<"VARIABLES = \"X\" \"Y\" \"Z\""<<endl;
    // Циклпоизолиниям
    IsoLines::const_iterator iter_lines;
    int line=1;
    for(iter_lines=lines.begin(); iter_lines!=lines.end(); ++iter_lines)
    {
        out <<"ZONE T=\"Polygon_\"<< line++ <<"\"<<endl;
        out <<"I="<<iter_lines->first.size() <<" , J="<< 1 <<" , K=1
ZONETYPE=Ordered"<<endl;
        out<<"DATAPACKING=POINT"<<endl;
        out<<"DT=(DOUBLE DOUBLE )"<<endl;
        out.setf(ios::scientific, ios::floatfield);

        // Циклпоточкамизолиней
        list<CPoint>::const_iterator p;
        for(p=iter_lines->first.begin(); p!=iter_lines->first.end(); ++p)
        {
            out<< *p <<endl;
        }
        out.setf(ios::fixed, ios::floatfield);
    }
    out.close();
}

void TecPlotU(char *filename, const Matrix&U)
{
    ofstream out(filename);
    // Построение сетки
    double hx=1.0*(x_max-x_min)/N, hy=1.0*(y_max-y_min)/M, x, y;
    out <<"VARIABLES = \"X\" \"Y\" \"Z\""<<endl;
    out <<"ZONE T=\"Surface\""<<endl;
    out <<"I="<< M+1 <<" , J="<< N+1 <<" , K=1 ZONETYPE=Ordered"<<endl;
    out<<"DATAPACKING=POINT"<<endl;
}

```

```

out<<"DT=(DOUBLE DOUBLE )" <<endl;
out.setf(ios::scientific, ios::floatfield);
for (inti = 0; i<= N; i++)
{
    x = x_min+i*hx;
    for (int j = 0; j <= M; j++)
    {
        y = y_min+j*hy;
        out<< x <<" " << y <<" " <<U[i][j] <<endl;
    }
}
out.close();
}

```

```

void ApproximateIsoLineInGrid(IsoLines&lines, Matrix&U)

```

```

{
    int i, j;
    // Цикл по изолиниям
    IsoLines::iterator iter_lines;
    ListPoints points;
    ListPoints::iterator it;
    for(iter_lines=lines.begin(); iter_lines!=lines.end(); ++iter_lines)
    {
        // Цикл по точкам изолиней
        list<CPoint>::iterator p=iter_lines->first.begin()++;
        list<CPoint>::iterator q = ++p;
        for(p=iter_lines->first.begin(); p!--iter_lines->first.end(); )
        {
            points.push_back(*p);
            points.push_back(*q);
            SegmentDecomposition(*p, *q, points);
            // Отобразить множество точек на сетку

            for(it=points.begin(); it!=points.end(); it++)
            {

```

```

        SearchPointInGrid(*it, i, j);
        U[i][j]=iter_lines->second;
    }
    points.clear();
    // Передвижение итераторов
    p=q;
    if (q!=iter_lines->first.end()) ++q;
}
}
}

```

```

CPointSearchPointInGrid(constCPoint&P, int&ii, int&jj)

```

```

{
    // i, j - номер ячейки, куда попадает точка P
    doublehx=1.0*(x_max-x_min)/N, hy=1.0*(y_max-y_min)/M;
    double r1, r2, r3, r4, rr1, rr2;
    inti=(P.x-x_min)/hx, j=(P.y-y_min)/hy;
    if (i>=N) i=N-1; if (i<0) i=0;
    if (j>=M) j=M-1; if (j<0) j=0;
    r1 = P.distance(CPoint(x_min+i*hx, y_min+j*hy));
    r2 = P.distance(CPoint(x_min+(i+1)*hx, y_min+j*hy));
    r3 = P.distance(CPoint(x_min+i*hx, y_min+(j+1)*hy));
    r4 = P.distance(CPoint(x_min+(i+1)*hx, y_min+(j+1)*hy));

    if (r1<r2)    {rr1=r1; ii=i;}
    else {rr1=r2; ii=i+1;}
    if (r3<r4)    {rr2=r3; ii=i;}
    else {rr2=r4; ii=i+1;}

    if (rr1<rr2) jj=j; elsejj=j+1;
    returnCPoint(ii*hx, jj*hy);
}

```

```

voidSegmentDecomposition(constCPoint&V1, constCPoint&V2, ListPoints&points)

```

```

{

```

```

doublehx=1.0*(x_max-x_min)/N, hy=1.0*(y_max-y_min)/M;
if (V1.dx(V2)<=hx&&V1.dy(V2)<=hy) return;
CPoint Center=(V1+V2)/2;
points.push_back(Center);
SegmentDecomposition(V1, Center, points);
SegmentDecomposition(V2, Center, points);
}

voidLineSplineY(Matrix&U)
{
doublehx=1.0*(x_max-x_min)/N, hy=1.0*(y_max-y_min)/M, x, y;
for(inti=0; i<N; i++)
    {
        intjp=0; doublezp = U[i][jp];
        for(int j=jp+1; j<M; j++)
            {
                if (fabs(U[i][j]-z_min) <eps) continue;
                //if (fabs(map[i].z[j]-zp)<eps) continue;
                doublehz = (U[i][j] - zp) / (j - jp);
                for(intjj=jp; jj<=j; jj++) U[i][jj] = zp + (jj-jp)*hz;
                zp = U[i][j]; jp = j;
            }
    }
}

voidLineSplineX(Matrix&U)
{
for(int j=0; j<M; j++)
    {
        intip=0; doublezp=U[0][j];
        for(inti=ip+1; i< N; i++)
            {
                if (fabs(U[i][j] - zp)<eps) continue;
                doublehz = (U[i][j] - zp) / (i - ip);
                if (i-ip>1 &&hz>0) {

```

```

        for(int ii=ip; ii<=i; ii++) U[ii][j] = zp + (ii-ip)*hz;
    }
    zp = U[i][j]; ip = i;
}
ip=N-1;
for(inti=ip; i>=0; i--)
{
    if (fabs(U[i][j] - zp) <eps) continue;
    doublehz = (U[i][j] - zp) / (ip - i);
    if (ip-i>1 &&hz>0) {
        for(int ii=ip; ii>=i; ii--) U[ii][j] = zp + (ip-ii)*hz;
    }
    zp = U[i][j]; ip = i;
}
}
}

```

Файл “point.cpp”

```
#include"point.h"
```

```
doubleCPoint::distance(constCPoint&P) const
```

```
{
    returnsqrt((x-P.x)*(x-P.x) + (y - P.y)*(y - P.y));
}
```

```
CPoint operator - (constCPoint&C1, constCPoint&C2)
```

```
{
    CPointR(C1.x-C2.x, C1.y-C2.y);
    return R;
}
```

```
CPoint operator + (constCPoint&C1, constCPoint&C2)
```

```
{
    CPointR(C1.x+C2.x, C1.y+C2.y);
    return R;
}
```

```
}
```

```
CPoint operator / (constCPoint&C1, constdouble&d)
```

```
{
```

```
    CPointR(C1.x/d, C1.y/d);
```

```
    return R;
```

```
}
```

```
ostream& operator << (ostream&out, constCPoint&P)
```

```
{
```

```
    out<<P.x<<" "<<P.y<<" "<<P.z;
```

```
    return out;
```

```
}
```

ПРИЛОЖЕНИЕ Б

Пример польского формата

[POLYLINE]

Type=0x20

Label=340

Data=(52.84780,91.41503),(52.84752,91.41494),(52.84765,91.41484),(52.84778,91.41487),(52.84786,91.41494),(52.84786,91.41501),(52.84780,91.41503)

[END]

[POLYLINE]

Type=0x20

Label=340

Data=(52.84862,91.42260),(52.84872,91.42254),(52.84872,91.42240),(52.84862,91.42221),(52.84846,91.42228),(52.84829,91.42243),(52.84862,91.42260)

[END]